

## نیم رخ‌های آب‌شستگی و تغییرات تنش‌های برشی در حفره در پایاب حوضچه‌های آرامش با شیب معکوس

حسین خلیلی شایان<sup>۱</sup>، جواد فرهودی<sup>۲\*</sup>

۱- دانش آموخته کارشناسی ارشد سازه‌های آبی، گروه مهندسی آبیاری و آبادانی، دانشگاه تهران

۲- استاد گروه مهندسی آبیاری و آبادانی، دانشگاه تهران

\* کرج، صندوق پستی ۴۱۱۱-۳۱۵۸۷

jfarhoudi@ut.ac.ir

**چکیده**- در این مطالعه تشابه نیم رخ‌های آب‌شستگی حاصل از جریان مستغرق خروجی از دریچه‌های کشویی در پایاب حوضچه‌های آرامش با شیب معکوس بررسی شده است. برای این منظور از نتایج ۲۳۳ آزمایش و برداشت ۳۲۶۲ نیم رخ حفره در گستره وسیعی از اعداد فرود، دانه‌بندی ذرات رسوبی، عمق پایاب، طول و شیب حوضچه معکوس استفاده شد. نتیجه تحقیقات نشان داد نیم رخ‌های آب‌شستگی در پایاب هر شیب حوضچه، خود متشابه هستند. معادله‌ای چندجمله‌ای برای توصیف نیم رخ‌های بدون بعد حفره در شیب‌های مختلف ارائه گردید. در یک حالت خاص از عدد فرود ذره، عمق پایاب و طول حوضچه، افزایش شیب حوضچه معکوس از صفر به ۱۵/۶٪، سبب کاهش ۱۵٪ در عمق بیشینه آب‌شستگی خواهد شد. روشی نظری جهت تقریب تنش ناشی از وزن ذره، تنش برشی بستر و تنش برشی در آستانه حرکت ذره در طول حفره آب‌شستگی، ارائه شد. مشاهدات نشان داد تنش‌های برشی بستر و وزن در طول حفره، بر اساس یک روند مشابه با زمان تغییر می‌کنند. در پایان، تأثیر هندسه حوضچه بر تغییرات تنش‌های برشی و وزن بررسی گردید.

**کلید واژگان:** تشابه ذاتی، تنش برشی بستر، جت مستغرق، حوضچه آرامش معکوس، نیم رخ آب‌شستگی.

سوی جریان در مجاورت سازه از تنش برشی مربوط به آستانه حرکت ذرات بیشتر باشد. در چنین شرایطی، ذرات سازنده بستر توسط جریان آب کنده شده و سپس حمل می‌شوند که نتیجه آن بر هم خوردن وضعیت ریختاری رودخانه و ایجاد حفره آب‌شستگی در اطراف سازه خواهد بود. بدیهی است توسعه این حفره ممکن است پایداری سازه را تهدید کند. مجموعه مطالعات انجام شده

**۱- مقدمه**  
آب‌شستگی در اطراف سازه‌های آبی احداث شده روی پی‌های نفوذپذیر، از جمله مهمترین مسائلی است که عملکرد اولیه مورد انتظار از این سازه و پایداری آن را در طول زمان بهره‌برداری تحت تأثیر قرار می‌دهد. این پدیده در پایاب سازه‌ها، علاوه بر شرایط حضور جریان‌های موضعی، هنگامی رخ می‌دهد که تنش برشی وارده از

می باشد که در نوع خود پیچیده و زمان بر است. (1986) Ali and Lim با اندازه گیری سرعت جریان در مجاورت بستر حفره، تغییرات تنش برشی بستر را در طول حفره محاسبه کردند. (1997) Hogg et al.، مدلی تحلیلی را برای پیش بینی دو بعدی حفره آب شستگی در نتیجه یک جت دیواره ای متلاطم ارائه کردند. ایشان تغییرات زمانی حفره آب شستگی را با انتگرال گیری از معادله بقای حجمی رسوب محاسبه و نتایج را با نیم رخ های آزمایشگاهی مقایسه نمودند. (2003) Dey and Westrich به واسطه حل معادله انتگرالی موتمت فن - کارمن (Schlichting and Gersten 2000) و استفاده از نتایج اندازه گیری سرعت جریان در طول حفره، عباراتی را برای تعیین تنش برشی مجاور بستر به علت جریان های برگشتی در وجهه بالادست و جریان های رو به جلو در وجه پایین دست حفره به دست آوردند. Adduce and Sciortino (2006) مدلی ریاضی را برای شبیه سازی نیم رخ آب شستگی ناشی از یک جت دو بعدی افقی ارائه کردند. این مدل قادر به تعیین تغییرات تنش برشی مجاور بستر در طول حفره در زمان های مختلف می باشد. به هر ترتیب، تاکنون معادلات مدونی برای تخمین انواع تنش های برشی در طول حفره آب شستگی با هندسه دلخواه به جهت پیچیدگی موضوع ارائه نشده است.

در این مطالعه، نخست تشابه نیم رخ های آب شستگی در پایاب حوضچه های آرامش افقی و معکوس ناشی از جت مستغرق خروجی از دریچه کشویی بر اساس نتایج آزمایشگاهی بررسی می شود. سپس معادلاتی برای توصیف نیم رخ حفره در هر زمان، ارائه می گردد. بر اساس مفهوم بردار نیروها و تعادل یک ذره رسوبی منفرد در طول حفره، روشی نظری پیشنهاد می شود که با داشتن نیم رخ های آب شستگی در هر زمان، بتوان انواع مختلف تنش های برشی را در طول حفره محاسبه و روند تغییرات آنها را با زمان بررسی کرد. همچنین تأثیر طول و شیب حوضچه بر تغییرات این تنش ها بررسی می شود.

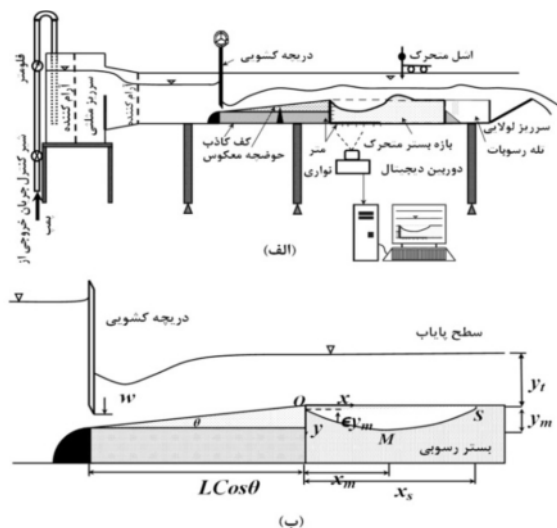
توسط محققان در زمینه توسعه حفره آب شستگی موضعی در پایین دست سازه ها را می توان به دو بخش عمده تقسیم کرد: برخی از محققان به مطالعه هندسه حفره آب شستگی در زمان های مختلف پرداخته اند و برخی دیگر عوامل مؤثر بر توسعه حفره را بررسی کرده اند. برخی از محققان، در طی تحقیقات خود چنین گزارش کردن که اگر نیم رخ های آب شستگی به صورت مناسب بی بعد شوند، شکل حفره از نظر هندسه مشابه و مستقل از زمان و اندازه ذرات رسوبی خواهد بود (Laursen, 1952, Hassan and Narayanan, 1985, Farhoudi and Smith, 1985, Chatterjee et al., 1994, Dey and Sarkar, 2006).

در این میان، Oliveto et al. (2003) و Dargahi (2011) هیچ گونه تشابهی بین نیم رخ های آب شستگی مشاهده نکردند.

از جمله زمینه های مورد علاقه محققین، بررسی تغییرات سرعت و تنش برشی در طول و عمق حفره آب شستگی است. در طول توسعه فرایند آب شستگی موضعی با زمان، سه نوع تنش بر شکل گیری حفره آب شستگی مؤثر است؛ تنش برشی ناشی از وزن مستغرق ذره روی وجود شیبدار بالادست و پایین دست حفره، تنش برشی ناشی از سرعت های جریان در مجاورت بستر و تنش برشی در آستانه حرکت ذره رسوبی (Adduce and Sciortino 2006). از یک دیدگاه، پیشرفت آب شستگی تا زمانی ادامه خواهد یافت که برایند تنش برشی بستر و تنش ناشی از وزن مستغرق ذره در امتداد جابه جایی بیشتر از تنش برشی در آستانه حرکت ذره رسوبی باشد. اطلاع از روند تغییرات تنش برشی در ناحیه حفره آب شستگی در تعیین بار بستر انتقال یافته با گذشت زمان و پیش بینی تغییرات سرعت در طول و عمق حفره آب شستگی مفید است. از سویی هر گونه اندازه گیری مستقیم تنش برشی در مجاورت بستر تنها در جریان های یکنواخت با استفاده از لوله ستون امکان پذیر است. اندازه گیری غیر مستقیم تنش برشی نیز مستلزم اندازه گیری سرعت های مجاور بستر

ساعت (ندرتاً ٤٨ ساعت تا ٥٦ ساعت) به واسطه تکنیک عکس پردازی پرداشت و رقومی شد.

به منظور بررسی کفایت زمان انجام آزمایشات معادل ۲۴ ساعت، آزمایشی شاهد در مدت ۵۴ ساعت و در شرایط شکل ۲ نشان می‌دهد چنان‌چه وضعیت حفره در پایان ۵۴ ساعت آزمایش به عنوان شرایط تعادل نسبی در نظر گرفته شود، نزدیک به ۸۷/۵٪ از عمق بیشینه در پایان ۵۴ ساعت آزمایش، در مدت ۲۴ ساعت آزمایش حاصل می‌شود. مشاهده می‌شود پس از گذشت ۲۴ ساعت شب تغییرات عمق بیشینه با زمان  $(\frac{dy}{dt}_m)$ ، تغییر قابل توجهی نخواهد کرد. با این وجود مسئله عدم دستیابی به تعادل دینامیکی بستر آب‌شستگی قبلًاً توسط et al. (2000) در نتیجه انجام یک آزمایش ۹۶ ساعته Balachandar گزارش شده است.



## شکل ۱ الف- مدل آزمایشگاهی، ب- طرحی از حفره آب‌شستگی

۲- مواد و روش‌ها

## ۱-۲- برداشت نیم رخ‌های آب‌شستگی از نتایج آزمایشگاهی

## جدول ۱ دامنه تغییرات پارامترهای مورد بررسی در این تحقیق

$D_{50} \text{ (mm)}$	$S_o$	$\frac{L}{w}$	$\frac{y_t}{y_1}$	$Fr_1$	پارامتر
۰/۵۸-۱/۷۸	۰-(-۰/۱۵۶)	۴۷/۲-۸۴/۳	۲/۹-۲۴/۶	۳/۸-۱۱/۱	دامنه تغییرات

حرکت ذره رسوبی است که در شرایط انتقال ذره روی بستر شیبدار به صورت تابعی از موقعیت مکانی و تنش برشی در آستانه حرکت ذره روی بستر افقی ( $\tau_{cr}^*$ ) تعریف می‌شود (Meyer-Peter and Muller, 1948).

$$\tau_{cr}^* = 0.047 \gamma_w (S_s - 1) D_{50} \quad (3)$$

از معادله (1) در طول بازه انتقال  $\Delta x$  و در مدت  $\Delta t$  می-

توان نوشت:

$$\frac{q_{2(B)} - q_{1(B)}}{\Delta x} = (n-1) \frac{\Delta y}{\Delta t} \quad (4)$$

معادله (4) را با بهره‌گیری از معادله (2) می‌توان به صورت رابطه (5) نوشت.

$$(\tau_{o(2)} - \tau_{cr(2)}) = \left[ \frac{\sqrt{\rho} \gamma_w (S_s - 1)}{8} \left( q_{1(B)} + (n-1) \Delta x \cdot \frac{\Delta y}{\Delta t} \right) \right]^{\frac{2}{3}} \quad (5)$$

در طول جابجایی ذره رسوبی در طول حفره آب‌شستگی دو نوع تنش بر ذره وارد می‌شود: تنش برشی ناشی از وزن ذره در امتداد جابه‌جایی،  $\tau$  و تنش برشی واردہ از

سوی بستر،  $\tau_b$ . در نتیجه:

$$\tau_o = \tau_b + \tau_w \quad (6)$$

انتقال رسوبات هنگامی انجام می‌شود که  $\tau_{cr} > \tau_o$ . با استفاده از مجموعه معادلات (5) و (6) می‌توان رابطه (7) را نوشت.

$$\tau_{b(x_2, t_2)} = \tau_{cr(x_2, t_2)} - \tau_{w(x_2, t_2)} + \left[ \frac{\sqrt{\rho} \gamma_w (S_s - 1)}{8} \left( q_{B(x_1, t_1)} + (n-1) \Delta x \cdot \frac{\Delta y}{\Delta t} \right) \right]^{\frac{2}{3}} \quad (7)$$

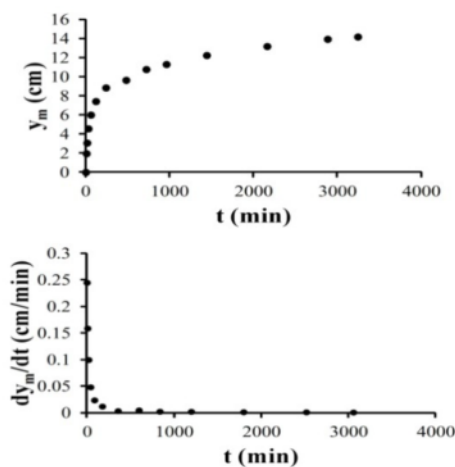
که در آن:

$$q_{B(x_1, t_1)} = \frac{8}{\sqrt{\rho} \gamma_w (S_s - 1)} (\tau_{o(1)} - \tau_{cr(1)})^{\frac{3}{2}} \quad (8)$$

و  $x_2 = x_1 + \Delta x$ ,  $t_2 = t_1 + \Delta t$  در شروع فرایند آب‌شستگی روی سطح صاف رسوبات در مبدأ زمان  $t_0 = 0$  و مکان  $x_0 = 0$ , با فرض عدم آورد رسوبات بستری از بالادست خواهیم داشت:  $q_{0(B)} = q_{B(x_0, t_0)} = 0$ . معادله (7) می‌تواند تغییرات تنش برشی بستر در طول حفره آب‌شستگی در هر زمان دلخواه

## ۲-۲- روشن پیشه‌هادی

مشاهدات نشان می‌دهد جز در مراحل اولیه آب‌شستگی که بخش معینی از رسوبات انتقال یافته را بار معلق تشکیل می‌دهد، بخش اعظم رسوبات با گذشت زمان در قالب بار بستر منتقل می‌شوند (Farhoudi and Smith, 1985).



شکل ۲ تغییرات عمق بینینه با زمان در طی یک آزمایش ۵۴ ساعته

معادله بقای رسوب در واحد عرض حفره و با فرض عدم آورد رسوب از بالادست را می‌توان به صورت رابطه (1) نوشت (Farhoudi and Smith, 1985):

$$(1-n) \frac{\partial y}{\partial t} + \frac{\partial q_B}{\partial x} = 0 \quad (1)$$

که در آن،  $y = y(x, t)$  معادله نیم‌رخ حفره در فاصله  $x$  از مبدأ و در زمان  $t$ ,  $n$  تخلخل ذرات رسوبی و  $q_B$  دبی بار بستر در واحد عرض است. از سوابی معادله پیشه‌هادی (Meyer-Peter and Muller, 1948) جهت برآورد دبی انتقال رسوب در واحد عرض را می‌توان به صورت رابطه (2) نوشت (Hogg et al., 1997).

$$q_B = \frac{8}{\sqrt{\rho} \gamma_w (S_s - 1)} (\tau_o - \tau_{cr})^{\frac{3}{2}} \quad (2)$$

که در آن،  $\tau$  تنش برشی واردہ بر ذره،  $\gamma_w$  وزن مخصوص آب،  $\rho$  جرم مخصوص آب و  $S_s$  چگالی نسبی ذرات رسوبی است.  $\tau_{cr}$  نیز تنش برشی در آستانه

همچنین،  $\vec{e}_s = \frac{\vec{s}}{|\vec{s}|}$  بردار یکه در راستای جابه جایی ذره است و به صورت رابطه (۱۳) تعریف می شود.

$$\vec{e}_s = \frac{1}{\sqrt{1+(y'_x)^2}} \vec{i} + \frac{y'_x}{\sqrt{1+(y'_x)^2}} \vec{j} \quad (13)$$

که در آن،  $\vec{i}$  بردار یکه در راستای افقی و  $y'_x$  شیب خط مماس بر نیم رخ حفره در هر نقطه است. در نتیجه:

$$\vec{\tau}_w = -\frac{wy'_x}{\sqrt{1+(y'_x)^2}} \left( \frac{1}{\sqrt{1+(y'_x)^2}} \vec{i} + \frac{y'_x}{\sqrt{1+(y'_x)^2}} \vec{j} \right) \quad (14)$$

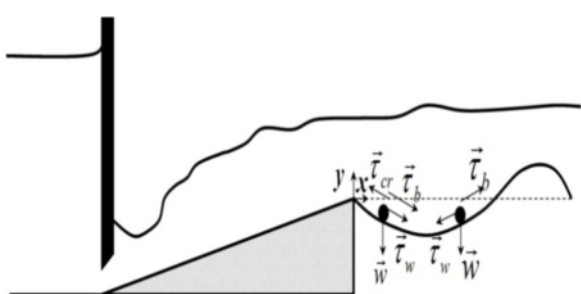
بنابراین مقدار تنش برشی ناشی از وزن مستغرق ذره عبارت است از:

$$\tau_w = -\frac{wy'_x}{\sqrt{1+(y'_x)^2}} \quad (15)$$

با جایگذاری تعریف تنش برشی در آستانه حرکت ذره روی سطح افقی از معادله (۱۰) می توان نوشت:

$$\tau_w = -\frac{\tau_{cr}^* y'_x}{\tan \phi \cdot \sqrt{1+(y'_x)^2}} \quad (16)$$

از معادله (۱۶) و شکل ۳ مشخص است که در شرایط انتقال ذره رسوبی روی وجه بالا دست حفره  $0 < y'_x$ ، در نتیجه  $0 > \tau_w$ ، یعنی تنش برشی ناشی از وزن ذره همسو با راستای جريان است و  $\tau_o = \tau_b + \tau_w = \tau_b + \tau_w$ . همچنین در شرایط انتقال ذره رسوبی روی وجه پایین دست حفره  $0 < y'_x$ ، در نتیجه  $0 < \tau_w$ ، یعنی تنش برشی ناشی از وزن ذره در خلاف جهت جريان است و  $\tau_o = \tau_b - \tau_w$ .



شکل ۳ انواع تنش های مؤثر بر ذره رسوبی در طول حفره آب شستگی

از شروع آب شستگی را منوط به تعیین تنش ناشی از وزن مستغرق ذره در راستای جابه جایی و تنش برشی در آستانه حرکت ذره و معلوم بودن نیم رخ آب شستگی در آن زمان، به دست دهد. در نتیجه لازم است عباراتی به مظاوم تعیین  $(x) \tau_{cr}$  و  $(x) \tau_w$  روی سطح حفره آب شستگی استخراج شود. شایان ذکر است که به علت انتقال ذره رسوبی روی سطح نیم رخ دو بعدی حفره آب شستگی،  $(x) \tau_{cr}$  و  $(x) \tau_w$  توابعی از موقعیت مکانی ذره رسوبی روی سطح نیم رخ آب شستگی هستند.

**۱-۲-۲- تعیین تنش برشی ناشی از وزن مستغرق ذره برای انتقال روی سطح نیم رخ آب شستگی**  $(x) \tau_w$  تنش ناشی از وزن مستغرق ذره ( $W$ ) با فرض ذره کروی به صورت زیر تعریف می شود:

$$w = \frac{W}{\pi \frac{D^2}{4}} \quad (9)$$

در شرایط آستانه حرکت ذره رسوبی روی سطح افقی:  $\tau_{cr}^* = w \cdot \tan \phi$  (۱۰)

که در آن  $\phi$  زاویه ایستایی ذره رسوبی است (زاویه ایستایی ذره رسوبی به صورت زاویه بین پاره خط و صلکنده مراکز دو ذره و راستای عمود بر سطح قرار گیری ذره تعریف می شود). در معادله (۱۰) فرض بر حرکت ذرات به صورت لغزشی بر روی یکدیگر است؛ حال آنکه ممکن است بخشی از رسوبات به صورت پرش های کوتاه حرکت کنند. بردار تنش برشی ناشی از وزن ذره در راستای قائم  $\vec{w}$  عبارت است از:

$$\vec{w} = w \cdot \vec{j} \quad (11)$$

که در آن  $\vec{j}$  بردار یکه در راستای قائم است. بردار تنش برشی ناشی از وزن ذره در امتداد جابه جایی  $\tau_w$  نیز به صورت رابطه (۱۲) تعریف می شود.

$$\vec{\tau}_w = proj_{\vec{e}_s}^{\vec{w}} = \frac{\vec{w} \cdot \vec{e}_s}{|\vec{e}_s|^2} \vec{e}_s \quad (12)$$

که در آن  $proj_{\vec{e}_s}^{\vec{w}}$  تصویر بردار  $\vec{w}$  در راستای  $\vec{e}_s$  است.

لذا از مجموعه معادلات (۵) و (۲۱)، تنש برشی بستر در هر موقعیت زمانی و مکانی در طول توسعه حفره آب شستگی با فرض عدم تشکیل فرم بستری، به طور مستقیم از رابطه (۲۲) قابل برآورد است:

$$\begin{aligned} \tau_{b(x_2, t_2)} &= \frac{\tau_{cr}^*}{\tan \phi \cdot \sqrt{1 + (y'_x)^2}} (y'_x + \tan \phi) + \\ &\left[ \frac{\sqrt{\rho} \gamma_w (S_s - 1)}{8} \left( q_{B(x_1, t_1)} + (n-1) \Delta x \cdot \frac{\Delta y}{\Delta t} \right) \right]^{\frac{2}{3}} \end{aligned} \quad (22)$$

استخراج معادلات مختلف تقریب زننده تنش ها در ناحیه حفره، مبنی بر فرضیات ساده کننده است. معادله (۱)، پیوستگی رسوب را در راستای اصلی جریان به دست می دهد؛ در حالی که ماهیت پدیده آب شستگی سه بعدی است. در نتیجه تدقیق روابط پیشنهادی تقریب زننده تنش ها، نیاز به اطلاع از تغییرات نیم رخ عرضی حفره با زمان و ورود مولفه سوم ابعاد حفره در معادله (۱) است. از سوی دیگر، معادله (۲۲) تغییرات طولی تنش برشی را بر اساس فرض جریان یک بعدی، پارامترهای متوسط جریان و توزیع نیمه لگاریتمی سرعت در عمق آب و بدون چرخش جریان به دست می دهد. لازم است ناممثنهای معادلات توصیفی از روش پیشنهادی بخصوص به جهت انحراف از وضعیت جریان چرخشی در وجه بالا دست حفره با نتایج تجربی بررسی شوند. یک کاربرد روش پیشنهادی فوق، تعیین نیم رخ زمانی حفره آب شستگی با انتگرال گیری عددی از معادله (۵)، پس از تعیین تنش دینامیکی بستر و مقایسه با نتایج تجربی است.

### -۳ نتایج و بحث

#### ۱-۳ تشابه نیم رخ های آب شستگی

شکل ۱- ب پارامترهای مختلف مورد بررسی در پدیده تشابه نیم رخ های آب شستگی را نشان می دهد. در این تحقیق به منظور بررسی تشابه نیم رخ های آب شستگی، شکل گیری تل ماسه در پایین دست حوضچه مورد توجه قرار نگرفته است. زیرا اعتقاد بر این است که شکل گیری

۲-۲-۲- تعیین تنش برشی در آستانه حرکت ذره برای انتقال روی سطح نیم رخ آب شستگی ( $x_{cr}$ ) برای این منظور لازم است تصویر تنش ناشی از وزن ذره در راستای قائم  $\vec{W}$  در امتداد عمود بر راستای سطح نیم رخ تعیین شود:

$$proj_{\vec{e}_n}^{\vec{w}} = \frac{\vec{w} \cdot \vec{e}_n}{|\vec{e}_n|^2} \vec{e}_n \quad (17)$$

که در آن،  $\vec{j} \cdot \vec{w} = -\vec{n}$  و  $\vec{e}_n = \frac{\vec{n}}{|\vec{n}|}$  بردار یکه در راستای عمود بر سطح آب شستگی ( $\vec{n} = -y'_x \vec{i} + \vec{j}$ ) است و به صورت رابطه (۱۸) تعریف می شود.

$$\vec{e}_n = \frac{y'_x}{\sqrt{1 + (y'_x)^2}} \vec{i} - \frac{1}{\sqrt{1 + (y'_x)^2}} \vec{j} \quad (18)$$

در نتیجه:

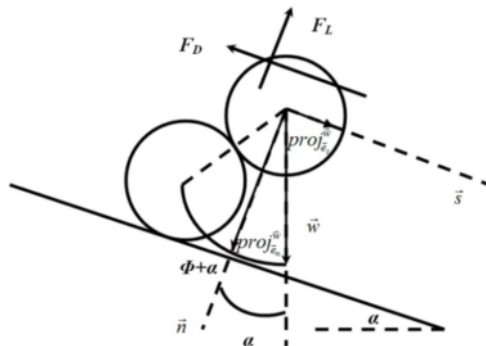
$$proj_{\vec{e}_n}^{\vec{w}} = \frac{\vec{w}}{\sqrt{1 + (y'_x)^2}} \left( \frac{y'_x}{\sqrt{1 + (y'_x)^2}} \vec{i} - \frac{1}{\sqrt{1 + (y'_x)^2}} \vec{j} \right) \quad (19)$$

از تعادل چرخشی ذره در شرایط آستانه حرکت حاصل از گشتاورهای نیروی کششی ( $F_D$ )، نیروی بلند کننده ( $F_L$ )، وزن ذره ( $W$ ) حول مرکز آن، مشابه شرایط تعادل ذره روی بستر افقی می توان نوشت (شکل ۴):

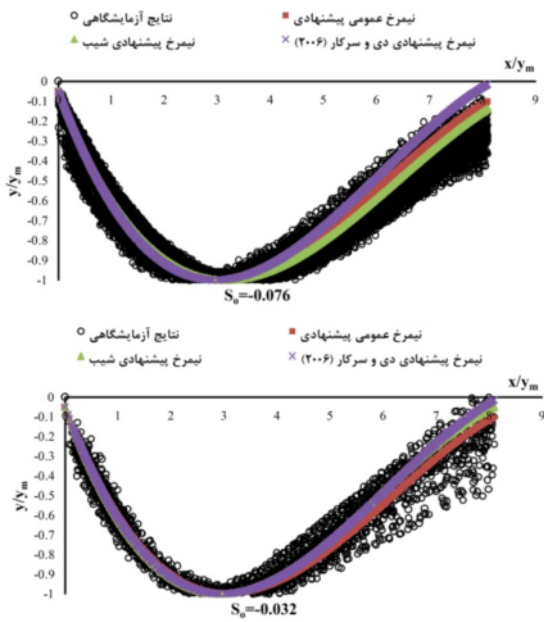
$$\hat{\tau}_{cr} = \frac{w \cdot \tan \phi}{\sqrt{1 + (y'_x)^2}} = \frac{\tau_{cr}^*}{\sqrt{1 + (y'_x)^2}} \quad (20)$$

در نتیجه از معادلات (۱۶) و (۲۰) می توان نوشت:

$$\tau_o - \tau_{cr} = \tau_b - \frac{\tau_{cr}^*}{\tan \phi \cdot \sqrt{1 + (y'_x)^2}} (y'_x + \tan \phi) \quad (21)$$



شکل ۴ تعیین تنش برشی ناشی از وزن و تنش برشی در آستانه حرکت ذره روی سطح شیبدار حفره



شکل ۵ نمونه نیم رخ های بی بعد حفره آب شستگی در پایاب  
شیب های  $-0.076$  و  $-0.032$

ضریب  $K_1$  از شیب نمودار تغییرات  $\left(\frac{x_m}{w} - \frac{y_m}{w}\right)$  و  
ضریب  $K_2$  از شیب نمودار تغییرات  $\left(\frac{x_s}{w} - \frac{y_m}{w}\right)$  از مجموعه داده های آزمایشگاهی در پایاب هر شیب حوضچه معکوس تعیین می شود. شکل ۶ استخراج ضرایب  $K_1$  و  $K_2$  را در شیب  $-0.076$  به طور نمونه نشان می دهد. همچنین از مجموعه نتایج آزمایشگاهی در پایاب تمام شیب های معکوس مورد مطالعه، مقادیر متوسط ضرایب  $K_1$  و  $K_2$  برای استنتاج یک نیم رخ عمومی پیشنهادی، به ترتیب معادل با  $0.046$  و  $0.066$  استخراج گردید. جدول ۲ نیز مقادیر ضرایب معادله (۲۳) را وابسته به شیب حوضچه به دست می دهد. همچنین ضرایب نیم رخ عمومی حاصل از مجموعه نتایج آزمایشگاهی در پایاب تمام شیب ها و نیم رخ پیشنهادی Dey and Sarkar (2006) برای حفره آب شستگی حاصل از جت مستغرق خروجی از دریچه کشویی در پایاب حوضچه آرامش افقی، در جدول ۲ نشان داده شده است.

تل ماسه منحصر به شرایط آزمایشگاهی است و در مورد پدیده رسوب گذاری، بر خلاف پدیده فرسایش نمی توان انتظار داشت هر آنچه که در مدل آزمایشگاهی رخ می دهد، لزوماً در نمونه اصلی نیز رخ دهد؛ اگرچه شکل گیری تل ماسه در شرایط آزمایشگاهی مؤثر بر توسعه هندسه گودال آب شستگی است. روش های مختلفی برای بی بعد کردن نیم رخ های آب شستگی توسط محققان پیشنهاد شده است. لکن در این تحقیق فرم بی بعد به صورت  $(x/y_m, y/y_m)$  به علت کارایی و سهولت مورد توجه قرار گرفته است. با تقسیم موقعیت طولی هر نقطه در هر زمان ( $x$ ) و موقعیت عمقی هر نقطه در هر زمان ( $y$ ) به بیشینه عمق آب شستگی در آن زمان ( $y_m$ )، نمونه نیم رخ های بدون بعد آب شستگی مطابق شکل ۵ از مجموعه نتایج آزمایشگاهی استنتاج شده اند. از مجموعه این نتایج وجود یک نوع تشابه در هندسه حفره در پایاب هر شیب قابل درک است. از برآزش داده های به دست آمده، معادله عمومی توصیف کننده نیم رخ حفره به فرم یک معادله درجه سوم به صورت رابطه (۲۳) قابل ارائه خواهد بود:

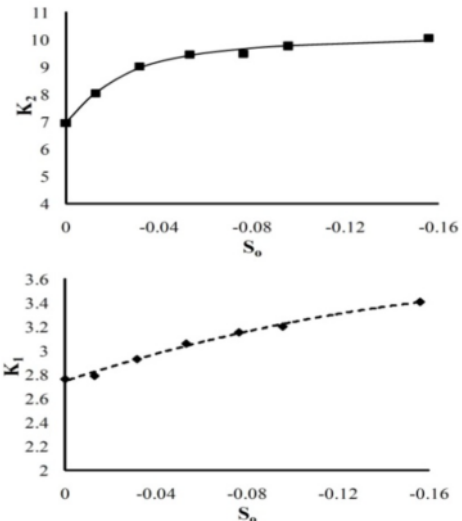
$$\frac{y}{y_m} = a_0 + a_1 \frac{x}{y_m} + a_2 \left( \frac{x}{y_m} \right)^2 + a_3 \left( \frac{x}{y_m} \right)^3 \quad (23)$$

با تعریف ضرایب  $x_m$  و  $K_1 = \frac{x_m}{y_m}$  و  $K_2 = \frac{x_s}{y_m}$  فاصله عمق بیشینه حفره تا انتهای حوضچه و  $x_s$  طول حفره و استفاده از شرایط مرزی ابتدای حفره  $O(0, -\varepsilon y_m)$ ، انتهای حفره  $S(K_2 y_m, 0)$  و محل حفره با حداقل عمق در هر شیب با دو شرط (۱) و

$$\frac{dy}{dx}(x = x_m) = 0, \text{ می توان نوشت:}$$

$$\begin{cases} a_0 = -\varepsilon \\ a_1 = \frac{\varepsilon K_1^3 + (\varepsilon - 1)(2K_2^3 - 3K_1 K_2^2)}{K_1^4 K_2 - 2K_1^2 K_2^2 + K_1 K_2^3} \\ a_2 = \frac{-2\varepsilon K_1^3 + (\varepsilon - 1)(3K_1^2 K_2 - K_2^3)}{K_1^4 K_2 - 2K_1^3 K_2^2 + K_1^2 K_2^3} \\ a_3 = \frac{\varepsilon K_1^3 - (\varepsilon - 1)(2K_1^2 K_2 - K_1 K_2^2)}{K_1^5 K_2 - 2K_1^4 K_2^2 + K_1^3 K_2^3} \end{cases} \quad (24)$$

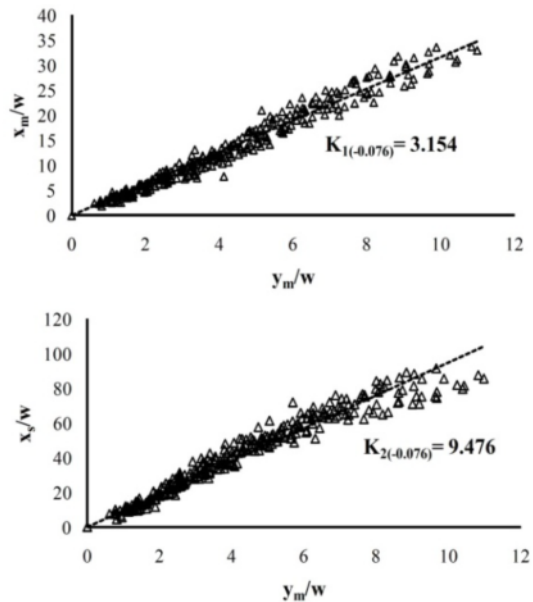
استاندارد ( $SE$ ) و ضریب همبستگی ( $R^2$ ) در مقایسه با داده های آزمایشگاهی استفاده شد. نتایج حاصل از این مقایسه ها در جدول ۳ نشان داده شده است.

شکل ۷ تغییرات ضرایب  $K_1$  و  $K_2$  با شیب حوضچه

جدول ۳ ارزیابی نیم رخ های مختلف حفره آب شستگی

نوع نیم رخ	$SE$	$R^2$
(۲۰۰۶) دی و سرکار	۰/۱۲۳	۰/۸۸۱
نیم رخ عمومی	۰/۱۱۰	۰/۹۰۶
نیم رخ پیشنهادی برای هر شیب	۰/۰۸۵	۰/۹۴۳

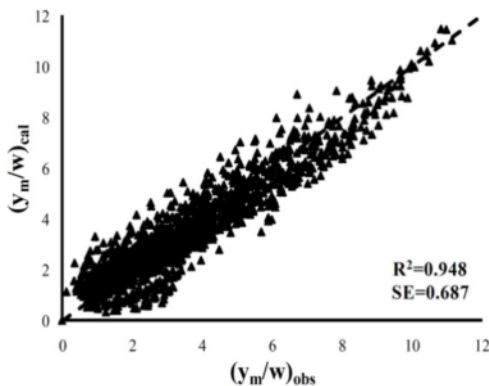
از جدول ۳ می توان نتیجه گرفت که نیم رخ پیشنهادی برای هر شیب، با دقیق تری (نیم رخ  $P$  برای هر شیب،  $R^2 = 0.943, SE = 0.085$ ) نیم رخ حفره آب شستگی را در هر شیب و در هر زمان به دست می دهد. از مجموعه نمودارهای حاصل می توان دریافت که با استفاده از نیم رخ های بی بعد پیشنهاد شده برای حفره آب شستگی در هر شیب، می توان تمام حفره های آب شستگی در پایین دست دریچه های کشویی را با دقت قابل قبولی پیش بینی کرد. ضرایب معادلات نیم رخ های پیشنهادی، مستقل از دانه بندی ذرات رسوبی هستند؛ لکن در عین

شکل ۶ استخراج ضرایب  $K_1$  و  $K_2$  را در شیب  $-0/076$ 

جدول ۲ ضرایب معادله (۲۳) در نیم رخ های مختلف

شیب های حوضچه	$a_0$	$a_1$	$a_2$	$a_3$
-۰/۱۵۶	-۰/۰۵	-۰/۶۲۵۷	۰/۱۲۱۸	-۰/۰۰۵۹
-۰/۰۹۶	-۰/۰۵	-۰/۶۹۶۹	۰/۱۵۱۱	-۰/۰۰۸۱
-۰/۰۷۶	-۰/۰۵	-۰/۶۷۶۴	۰/۱۴۲۴	-۰/۰۰۷۴
-۰/۰۵۳	-۰/۰۵	-۰/۷۷۲۲	۰/۱۸۵۶	-۰/۰۱۱۱
-۰/۰۳۲	-۰/۰۵	-۰/۷۲۸۱	۰/۱۶۵	-۰/۰۰۹۳
-۰/۰۱۳	-۰/۰۵	-۰/۶۶۶۱	۰/۱۳۸۱	-۰/۰۰۷۱
-۰/۰	-۰/۰۵	-۰/۷۵۳	۰/۱۷۳۷	-۰/۰۰۹۳
نیم رخ عمومی	-۰/۰۵	-۰/۶۹۵۸	۰/۱۵۰۷	-۰/۰۰۸۱
Dey and Sarkar (2006)	-۰/۰۵	-۰/۷۱۶۹	۰/۱۵۹۵	-۰/۰۰۸۷

شکل ۷ تغییرات ضرایب  $K_1$  و  $K_2$  را وابسته به شیب حوضچه به دست می دهد. از این شکل می توان دریافت با افزایش میزان شیب، طول حفره آب شستگی و فاصله عمق بیشینه حفره تا انتهای حوضچه باشد بیشتری افزایش خواهد یافت. به منظور ارزیابی معادله پیشنهادی دی و سرکار (۲۰۰۶)، نیم رخ عمومی پیشنهادی در تمام شیب ها و نیم رخ پیشنهادی در هر شیب از دو معیار خطای

شکل ۸ ارزیابی دقت معادله (۲۳) در برآورد  $y_m$ 

### ۲-۳- بررسی تأثیر طول و شبیه حوضچه معکوس بر ابعاد حفره آب شستگی

شکل های ۹-الف، ۹-ب و ۹-ج، به ترتیب نشان دهنده تأثیر شبیه و طول حوضچه آرامش بر تغییرات عمق آب شستگی بیشینه ( $y_{me}$ )، فاصله عمق بیشینه تا انتهای کف بند ( $x_{me}$ ) و طول حفره ( $x_{se}$ ) در یک شرایط معین از عمق پایاب ( $\frac{y_t}{w} = 6$ ) و عدد فرود ذره

$$(F_o = \frac{q}{\sqrt{g(S_s - 1)D_{50}^3}} = 8)$$

معکوس بر جریان ورودی به بستر رسوبی و الگوی توسعه حفره آب شستگی را می توان به مثاله یک آستانه انتها بی در نظر گرفت. افزایش شبیه حوضچه معکوس در یک طول معین یا افزایش در طول حوضچه معکوس در یک شبی معین، به مانند افزایش ارتفاع یک آستانه انتها بی در انتهای حوضچه است. در نتیجه افزایش شبی یا طول حوضچه، بخشی از خطوط جریان نزدیک بستر به سمت سطح آب متمایل می شوند. لذا جریان ریزشی از سطح آب در فاصله دورتری نسبت به حضور حوضچه افقی با سطح بستر رسوبی برخورد خواهد کرد.

در عین حال جریان ریزشی به علت برخورد با سطح آب دارای تنش برشی کمتری جهت انتقال ذرات رسوبی در مقایسه با حضور یک حوضچه آرامش افقی در بالادست خواهد بود.

حال وابستگی زیادی به هندسه سازه بالادست یعنی بازشدگی دریچه و شبیه حوضچه دارند. مجموعه پارامترهای مؤثر بر پدیده آب شستگی موضعی در پایاب حوضچه های آرامش با شبیه معکوس عبارتند از:

$$F(\rho, v, y_t, g, q, L, \tan \theta, w, D_{50}, y_m, y_1, t) = 0 \quad (25)$$

که در آن،  $\rho$  جرم مخصوص سیال،  $v$  لزجت سینماتیکی سیال،  $y$  عمق پایاب،  $g$  شتاب تقلیل،  $q$  دبی در واحد عرض،  $y_1$  عمق آب در ناحیه تنگ شدگی و  $t$  پارامتر زمان می باشد. در این تحلیل به علت یکنواختی ذرات رسوبی از تأثیر پارامترهای مانند ضریب یکنواختی، زاویه ایستایی و چگالی نسبی رسوبات صرف نظر شده است. همچنین با اغماص از تأثیر عدد رینولدز جریان ( $R_e = f_1(\rho, v, w, q)$ ) به علت فرض جریان کاملاً متلاطم در طول آزمایش ها، در نظر گرفتن عمق بیشینه آب شستگی به عنوان متغیر وابسته، استفاده از نظریه پای-

باکینگهام و تعریف  $\frac{y_t}{\sqrt{g(S_s - 1)D_{50}}} = t_0$  خواهیم داشت:

$$\frac{y_m}{w} = f \left( \tan \theta, \frac{y_t}{w}, \frac{L}{w}, Fr_1, \frac{t}{t_0}, \frac{D_{50}}{w} \right) \quad (26)$$

که در آن،  $Fr_1 = \frac{q}{\sqrt{gy_1 \cos \theta}}$  عدد فرود اولیه جهش روی حوضچه معکوس است. با شناخت پارامترهای بسیار مؤثر و استفاده از تحلیل رگرسیونی داده های موجود، رابطه زیر به منظور تعیین عمق بیشینه حفره در هر لحظه ( $y_m$ ) به دست آمد:

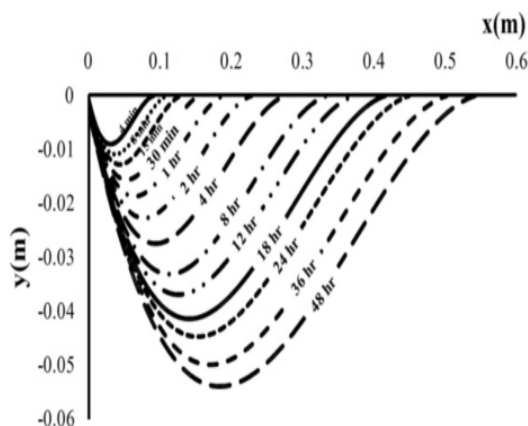
$$\frac{y_m}{w} = 0.486(1 - \tan \theta)^{-0.342} \times \left( \frac{y_t}{w} \right)^{-0.635} \times \left( \frac{L}{w} \right)^{-1.006} \times (Fr_1)^{1.528} \times \left( \frac{t}{t_0} \right)^{0.271} \times \left( \frac{D_{50}}{w} \right)^{-0.538} \quad (27)$$

شکل ۸ دقت برآورد تعیین عمق بیشینه حفره را در هر زمان از معادله (۲۳) در مقایسه با نتایج آزمایشگاهی نشان می دهد.

آب شستگی با زمان و استفاده گام به گام از معادلات (۱۶)، (۲۰) و (۲۲)، تغییرات انواع مختلف تنش های برشی ناشی از وزن و تنش برشی بستر در طول حفره و در هر زمان حاصل خواهد شد. در شکل ۱۰ نیم رخ های حفره آب شستگی در طول مدت زمان ۴۸ ساعت در

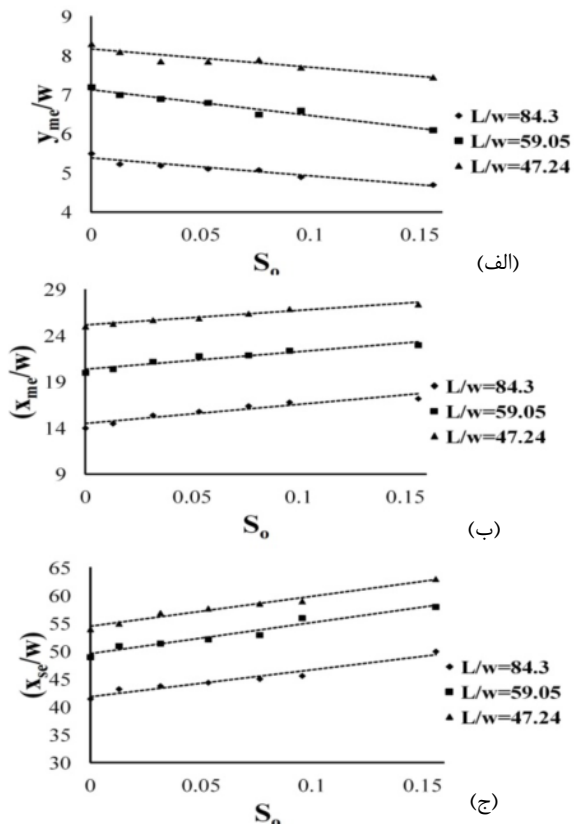
$$S_o = -0.156, Fr_1 = \frac{q}{\sqrt{gy_1^3}} = 8.53, \quad \text{حالت نمونه}$$

$\frac{D_{s0}}{w} = 0.127, \frac{L}{w} = 84.3$  نشان داده شده است. شکل ۱۱ نیز تغییرات زمانی و مکانی تنش برشی وزن و تنش برشی بستر را با در نظر گرفتن نیم رخ های حفره آب شستگی از شکل ۱۰ نشان می دهد.



شکل ۱۰ نمونه نیم رخ حاصل از نتایج آزمایشگاهی در شرایط عدم حضور تل ماسه

در طول ناحیه حفره آب شستگی در هر زمان، مقدار تنش برشی ناشی از وزن ذره در وجه بالادست حفره با کاهش شیب وجه بالادست در طول حفره کاهش خواهد یافت. در محل بیشینه عمق آب شستگی و شکل گیری نقطه ای یک بستر افقی، مقدار تنش برشی ناشی از وزن برابر صفر خواهد شد. با پیشرفت طولی حفره، مقدار تنش برشی ناشی از وزن ذره در وجه پایین دست حفره با افزایش میزان شیب، افزایش خواهد یافت.



شکل ۹ تأثیر شیب و طول حوضچه بر تغییرات ابعاد حفره

این امر سبب خواهد شد حفره آب شستگی در پایین دست حوضچه معکوس، عمقی کمتر داشته، لکن گسترش طولی آن نسبت به شرایط حضور حوضچه آرامش افقی بیشتر گردد. در حالت خاص مورد بررسی و به ازای نسبت  $\frac{L}{w} = 59$ ، افزایش شیب حوضچه معکوس از صفر به  $15/6$ ٪، سبب کاهش  $15/6$ ٪ در عمق بیشینه و افزایش  $18$ ٪ به ترتیب در موقعیت عمق بیشینه و طول حفره آب شستگی خواهد شد. در نتیجه با افزایش طول یا شیب حوضچه معکوس، عمق حفره آب شستگی کاهش یافته اما طول حفره و فاصله عمق بیشینه تا انتهای کف بند افزایش خواهد یافت.

### ۳-۳-۳- تشابه تنش های برشی در طول حفره آب شستگی

با استفاده از نتایج حاصل از تغییرات ابعاد حفره

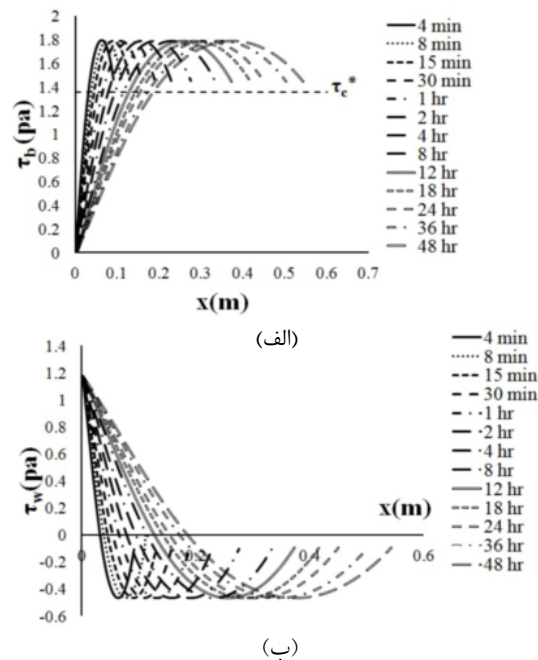
عطف نیم رخ حفره در وجه پایین دست حفره وجود خواهد داشت که در آن نیروی ناشی از وزن ذره در خلاف راستای جریان بیشینه خواهد شد، در نتیجه لازم است از سوی بستر نیروی بیشتری برای غلبه بر مجموع تنش‌های ناشی از وزن ذره و تنش برشی در آستانه حرکت ذره وارد شود. از نقطه عطف تا شکل‌گیری یک بستر افقی در وجه پایین دست حفره مقدار تنش برشی ناشی از وزن ذره تا رسیدن به مقدار صفر و تنش برشی بستر تا رسیدن به مقدار تنش برشی در آستانه حرکت ذره روی بستر افقی کاهش خواهد یافت.

- به نظر می‌رسد نیم رخ‌های تغییرات تنش برشی ناشی از وزن ذره و تنش برشی بستر با گذشت زمان، خود متشابه باشند؛ به این معنا که اگر بتوان این نیم رخ‌ها را به شکل مناسبی بی‌بعد کرد، ارائه یک معادله عمومی واحد برای تعیین انواع مختلف تنش برشی در طول حفره و در هر زمان امکان پذیر باشد. با تقسیم موقعیت مکانی هر نقطه در طول حفره به عمق آب‌شستگی بیشینه حفره در آن زمان و تقسیم تنش برشی ناشی از وزن ذره یا تنش برشی بستر بر تنش برشی در آستانه حرکت ذره روی بستر افقی، معادلاتی به فرم زیر جهت برآورده عمومی تغییرات انواع تنش برشی در هر زمان و در هر موقعیت مکانی در طول حفره حاصل خواهد شد (شکل ۱۲):

$$\frac{\tau_b}{\tau_c} = -0.027 \left( \frac{x}{y_m} \right)^2 + 0.382 \left( \frac{x}{y_m} \right) \quad (28)$$

$$\frac{\tau_b}{\tau_c} = -0.027 \left( \frac{x}{y_m} \right)^2 + 0.382 \left( \frac{x}{y_m} \right) \quad (29)$$

در شرایط حضور تل ماسه نیز با اطلاع از نیم رخ حفره و به طریق مشابه، تغییرات انواع تنش برشی در طول حفره آب‌شستگی قابل برآورده است. این روش قابل بسط به حفره‌های آب‌شستگی در پایاب انواع سازه‌های هیدرولیکی است. همچنین این روش می‌تواند در پیش-بینی مقادیر تنش برشی بستر در طول انواع فرم‌های بستری با اطلاع از نیم رخ طولی بستر به کار رود.

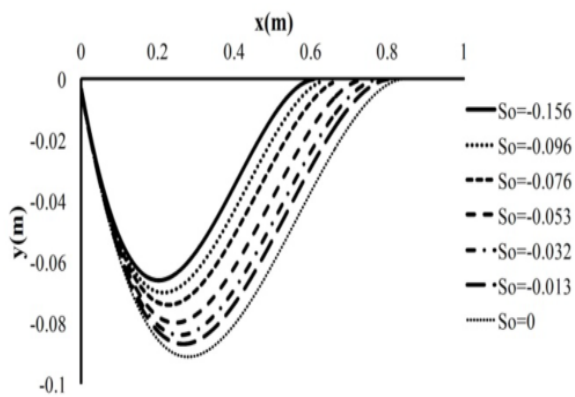


شکل ۱۱ تغییرات زمانی و مکانی تنش برشی ناشی از الف- تنش برشی بستر و ب- وزن ذره

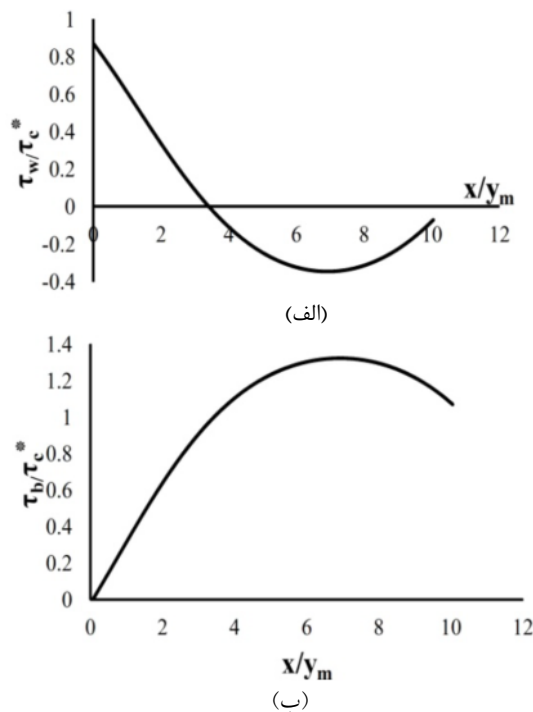
- مقدار تنش برشی بستر در طول وجه بالا دست حفره تا رسیدن به محل حفره با بیشینه عمق افزایش خواهد یافت. همچنین تنش برشی بستر در بیشینه عمق حفره به علت عدم تأثیر وزن ذره روی یک بستر افقی، معادل با تنش برشی در آستانه حرکت ذره خواهد بود. در طول وجه پایین دست حفره، مقدار تنش برشی بستر در یک بخش تا رسیدن به یک موقعیت معین افزایش خواهد یافت. لازم به ذکر است که در طول وجه بالا دست حفره، تنش برشی ناشی از وزن ذره در جهت جریان بر روی ذره تأثیر نموده، در نتیجه مقدار تنش برشی لازم بستر برای انتقال ذره کمتر از تنش برشی در آستانه حرکت ذره خواهد بود؛ لکن در وجه پایین دست حفره به علت تأثیر تنش برشی ناشی از وزن ذره در خلاف جهت جریان، لازم است از سوی بستر نیروی بیشتری جهت انتقال ذره اعمال شود. در نتیجه در بخش پایین دست حفره مقدار تنش برشی بستر از تنش برشی در آستانه حرکت ذره بیشتر است.

- در شرایط عدم حضور تل ماسه یک نقطه موسوم به

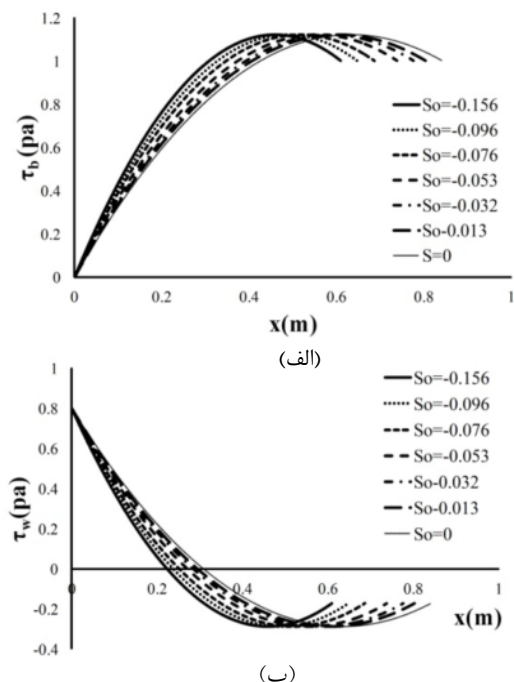
حوضچه افزایش می یابد؛ لکن پس از این موقعیت افزایش شیب حوضچه با کاهش مقاومت برشی ناشی از وزن ذره همراه خواهد بود.



شکل ۱۳ نیم رخ حفره های آب شستگی از نتایج آزمایشگاهی در شیب های مختلف



شکل ۱۲ فرم بدون بعد تغییرات تنش برشی الف- تنش برشی وزن و ب- تنش برشی بستر در طول حفره



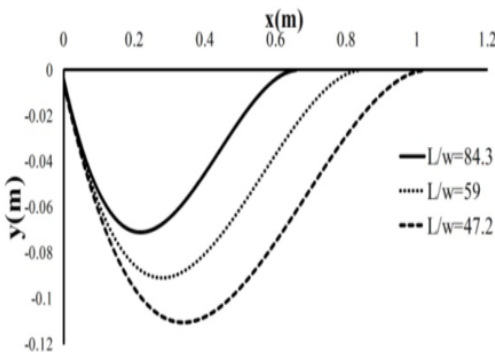
شکل ۱۴ تأثیر شیب حوضچه معکوس بر تغییرات الف- تنش وزن ب- تنش برشی بستر

همچنین تا قبل از نقطه عطف نیم رخ، با افزایش شیب حوضچه، تنش برشی بستر افزایش و پس از آن، شیب

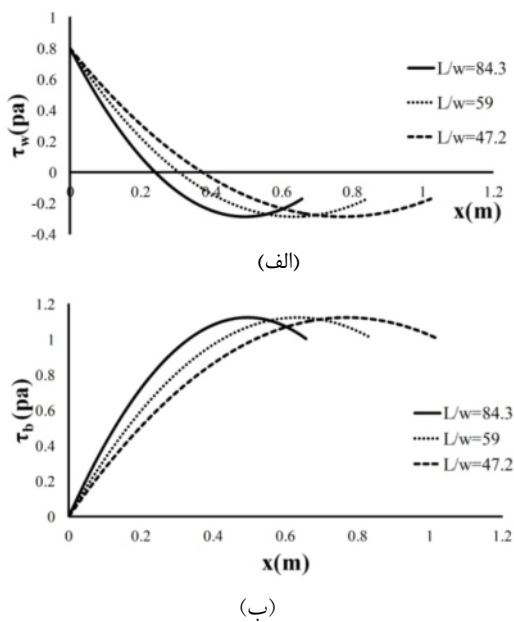
#### ۳-۴- بررسی تأثیر شیب و طول حوضچه و دانه بندی ذرات رسوبی بر تغییرات تنش برشی بستر و تنش وزن

به منظور مطالعه تأثیر شیب حوضچه معکوس بر تغییرات انواع مختلف تنش برشی در طول حفره آب شستگی، مجموعه ای از نتایج آزمایشگاهی با شرایط شکل ۱۳ نشان داده شده است. در هر حالت در تنش برشی ناشی از وزن ذره و تنش برشی بستر محاسبه و در شکل ۱۴ نشان داده شده است.

روند تغییرات انواع تنش برشی با شیب حوضچه دارای دو بخش است: مقدار تنش برشی ناشی از وزن ذره از ابتدای حفره تا نقطه عطف نیم رخ، با افزایش میزان شیب



شکل ۱۵ نیمرخ‌های حفره آب‌شستگی از نتایج آزمایشگاهی به ازای سه نسبت مختلف طول حوضچه



شکل ۱۶ تأثیر طول نسبی حوضچه بر تغییرات الف-تنش وزن و ب-تنش برشی بستر

در نتیجه در یک شرایط معین، نیروی لازم جهت انتقال ذره رسوبی و غلبه بر مقاومت بستری قبل از نقطه عطف در شیب‌های بالاتر حوضچه، بیشتر و در نتیجه میزان توسعه عمقی حفره کمتر خواهد بود. لکن پس از نقطه عطف به علت کاهش مقاومت بستری، انتقال ذره رسوبی در شیب‌های بالاتر راحت‌تر و در نتیجه توسعه طولی حفره افزایش خواهد یافت.

بیشتر حوضچه، کاهش تنش برشی بستر را به همراه خواهد داشت. قبلاً تشریح گردید که با افزایش شیب معکوس در یک شرایط معین از طول حوضچه، دانه بندی ذرات و شرایط جریان؛ عمق آب‌شستگی بیشینه کاهش و طول حفره آب‌شستگی افزایش خواهد یافت. این مسئله از دیدگاه تحلیل تنش برشی از شکل‌های ۱۴ نیز قابل درک است. با افزایش شیب حوضچه تا قبل از نقطه عطف نیمرخ، نیروی لازم برای غلبه بر اثر مقاومت بستر افزایش می‌یابد؛ در نتیجه در یک شرایط معین عمق آب‌شستگی بیشینه در پایاب حوضچه با شیب بالاتر، کمتر خواهد بود.

لکن پس از نقطه عطف، افزایش شیب حوضچه کاهش نیروی لازم جهت غلبه بر مقاومت بستر را به همراه خواهد داشت. این مسئله سبب خواهد شد در یک شرایط معین، انتقال ذرات رسوبی در ناحیه پایین دست عطف نیمرخ، راحت‌تر صورت گرفته و در نتیجه طول حفره آب‌شستگی با افزایش میزان شیب حوضچه افزایش می‌یابد. به منظور مطالعه تأثیر طول نسبی حوضچه بر تغییرات انواع مختلف تنش‌های برشی، نتایج حاصل از نیمرخ‌های آزمایشگاهی در شرایط معین

$$F_o = 12, \frac{y_t}{w} = 6, S_o = -0.076$$

حوضچه استفاده شد (شکل ۱۵). نتایج محاسبه تنش‌های برشی بستر و تنش برشی ناشی از وزن در سه حالت مطلوب، در شکل ۱۶ نشان داده شده است. پیش از این تشریح شد که با افزایش طول نسبی حوضچه در یک شرایط معین، عمق آب‌شستگی بیشینه کاهش و طول حفره آب‌شستگی افزایش خواهد یافت. این مسئله از دیدگاه تحلیل تنش نیز قابل درک است.

با افزایش طول حوضچه مطابق شکل ۱۶، مقاومت برشی بستر قبل از نقطه عطف افزایش و پس از نقطه عطف نیمرخ، افزایش شیب حوضچه کاهش مقاومت بستر را به همراه خواهد داشت.

$S_o$	شیب حوضچه آرامش
$S_s$	چگالی نسبی ذرات رسوبی
$t$	زمان
$w$	بازشدگی دریچه
$x_{me}$	فاصله بیشینه حفره تا حوضچه در شرایط تعادل
$x_{se}$	طول حفره آب شستگی در شرایط تعادل
$y_m$	عمق بیشینه حفره آب شستگی در هر زمان
$y_{me}$	عمق بیشینه حفره آب شستگی در شرایط تعادل
$y_t$	عمق پایاب
$\rho$	جرم مخصوص آب
$v$	لرجه سینماتیکی آب
$\gamma_w$	وزن مخصوص آب
$\phi$	زاویه ایستایی ذره رسوبی
$\theta$	زاویه شیب حوضچه آرامش
$\tau_b$	تنش برشی بستر
$\tau_{cr}$	تنش برشی آستانه حرکت ذره روی سطح شیدار
$\tau_{cr}^*$	تنش برشی آستانه حرکت ذره روی سطح افقی
$\tau_o$	تنش برشی واردہ بر ذره ناشی از وزن و بستر
$\tau_w$	تنش برشی ناشی از وزن ذره رسوب

## ۶- منابع

Adduce, C. and Sciortino, G. (2006). "Scour due to a horizontal turbulent jet: Numerical and experimental investigation", J. of Hydraulic Res., 44(5), pp. 663-673.

Ali, K. H. M. and Lim, L. (1986). "Local scour caused by submerged wall jets", Proceedings, Institution of Civil Engineers, 81(2), pp. 607-645.

Balachandar, R., Kells, J.A. and Thiessens, R.J. (2000). "The effect of tailwater depth on the dynamics of local scour", Canadian Journal of Civil Engineering, 27(1), pp. 138-150.

Chatterjee, S.S., Ghosh, S.N. and Chatterjee, M. (1994). "Local scour due to submerged horizontal jet", J. of Hydraulic Eng., 120(8), pp. 973-992.

Dargahi, B. (2003). "Scour development downstream of a spillway", J. of Hydraulic Res., 41(4), pp. 417-426.

Dey, S. and Westrich, B. (2003). "Hydraulics of

## ۴- نتیجه گیری

اگرچه نیم رخ های آب شستگی در پایاب هر شیب حوضچه معکوس از یک تشابه معین پیروی می کنند، لکن با افزایش شیب حوضچه بر گسترش طولی آن افزوده خواهد شد.

با افزایش شیب و طول حوضچه آرامش معکوس، جریان رها شده از سطح حوضچه در فاصله دورتر و با قدرت فرسایندگی کمتر به سطح رسوبات برخورد کرده و لذا حفره آب شستگی عمق کمتر و طول بیشتری خواهد داشت. متناظر با وجود تشابه بین نیم رخ های آب شستگی، نیم رخ های تغییرات تنش های بستری و وزن ذره در زمان های مختلف خود متشابه هستند. در طول وجه بالادست حفره، تنش وزن در جهت جریان بوده و تنش برشی کمتری جهت انتقال ذره لازم است؛ لکن در طول وجه پایین دست حفره، لازم است تنش برشی بیشتری از سوی بستر جهت غلبه بر اثر وزن ذره اعمال شود. در طول وجه پایین دست حفره یک نقطه موسوم به عطف نیم رخ آب شستگی وجود دارد که بیشترین تنش ناشی از وزن اعمال و تنش برشی بستر حداقل خواهد شد. افزایش شیب یا طول حوضچه تا قبل از نقطه عطف نیم رخ حفره سبب افزایش تنش برشی بستر و پس از نقطه عطف سبب کاهش مقاومت بستر خواهد شد. این مسأله سبب کاهش عمق و افزایش طول حفره با افزایش شیب و طول حوضچه معکوس خواهد شد.

## ۵- فهرست علایم

$D_{50}$	قطر مربوط به ۵۰ درصد ذرات عبوری از الک
$Fr_1$	عدد فرود اولیه پرش آبی
$F_o$	عدد فرود ذره رسوبی
$g$	شتاب ثقل
$L$	طول حوضچه آرامش
$q$	دبی جریان در واحد عرض
$q_B$	بار بستر در واحد عرض و در واحد زمان

- Laursen, E. M. (1952). "Observation on the nature of scour", Proc. 5th Hydraulic Conference. University of Iowa, Iowa City, USA, pp. 179-197.
- Meyer-Peter, E. and Muller, R. (1948). "Formulas for bed-load transport", Proced. 3<sup>rd</sup> Meeting of IAHR, Stockholm, Sweden, pp. 39-64.
- Oliveto, G., Comuniello, V. and Bulbule T. (2011). "Time-dependent local scour downstream of positive-step stilling basins", J. of Hydraulic Res., 49(1), pp. 105-112.
- Schlichting, H. and Gersten, K. (2000). "Boundary layer theory", Springer-Verlag, Berlin.
- submerged jet subject to change in cohesive bed geometry", J. of Hydraulic Eng. 129(1), pp. 44-53.
- Dey, S. and Sarkar, A. (2006). "Scour downstream of an apron due to submerged horizontal jets", J. of Hydraulic Eng., 132(3), pp. 24-257.
- Farhoudi, J. and Smith, K.V.H. (1985). "Local scour profiles downstream of hydraulic jump", J. of Hydraulic Res., 23(4), pp. 343-358.
- Hassan, N.M.K.N. and Narayanan, R. (1985). "Local scour downstream of an apron", J. of Hydraulic Eng., 111(11), pp. 1371-1385.
- Hogg, A. J., Huppert, H. E. and Dade, B. (1997). "Erosion by planer turbulent jets", J. of Fluid Mech., 338, pp. 317-340.